

**ВЗАИМОДЕЙСТВИЕ ЭЛЕМЕНТОВ
ВОЛОКНИСТОГО КОМПОЗИЦИОННОГО МАТЕРИАЛА
В УСЛОВИЯХ ОРТОГОНАЛЬНОГО РАСПРОСТРАНЕНИЯ
ФРОНТА НАСЛАИВАНИЯ ПРИ СВАРКЕ ВЗРЫВОМ**

A. M. Ханов, И. В. Яковлев

(Новосибирск)

Волокнистые композиционные материалы с металлической матрицей можно получить методом сварки металлов взрывом при произвольной ориентации упрочняющих волокон по отношению к направлению фронта наслаждания и фронта детонации в заряде ВВ, используемого для метания матричного слоя [1—4].

При движении фронта детонации в направлении укладки волокон определяются оптимальные параметры соударения для получения соединения с максимальной прочностью [3, 4]. Но в таких случаях, как окружное армирование оболочек, получение композиционных материалов с хрупкой армирующей фазой, исключение потери устойчивости волокон, осуществляется режим соударения матричных слоев и армирующего во-

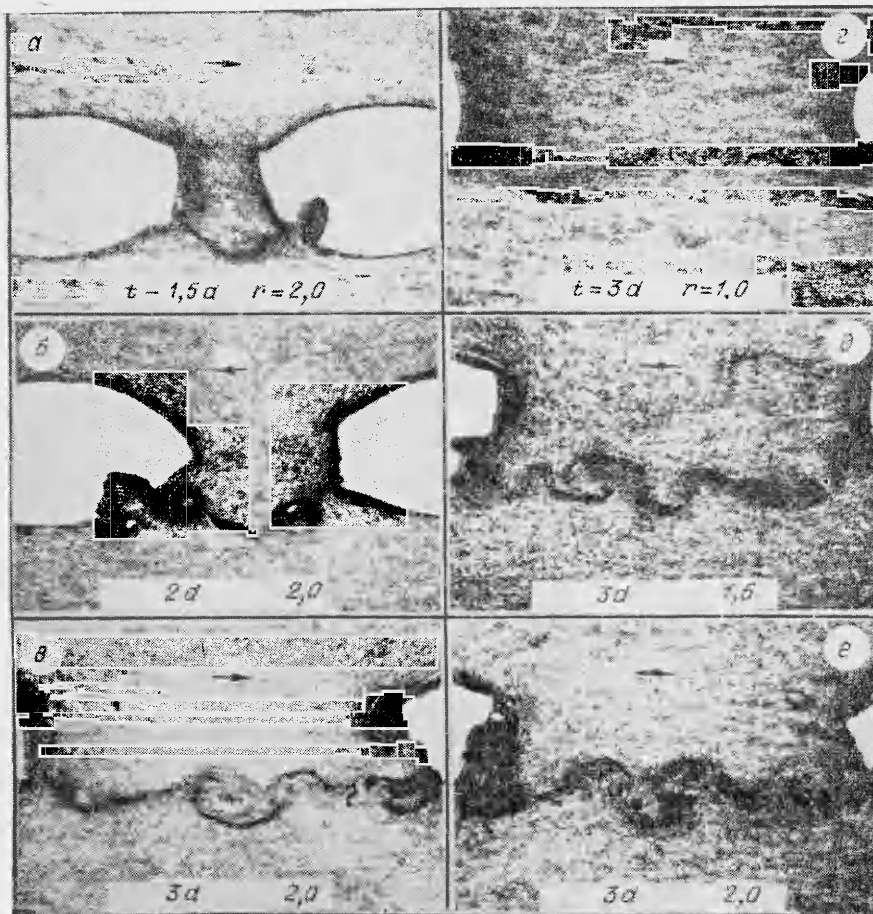


Рис. 1.

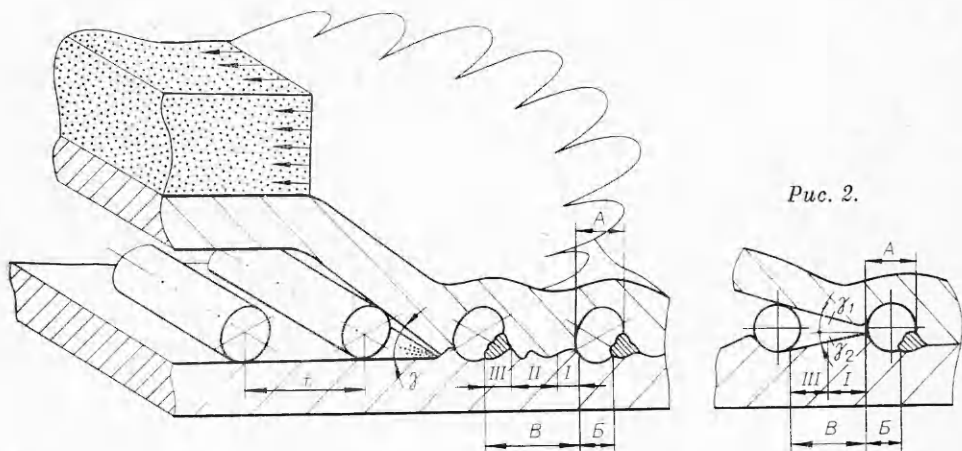


Рис. 2.

локна в направлении перпендикулярном направлению расположения волокон.

В работе [4] рассмотрен механизм образования соединения волокнистого композиционного материала при распространении фронта насыщения метаемой матричной пластины вдоль направления укладки волокон. Вместе с этим большой интерес представляет механизм образования соединения волокнистого композиционного материала при движении фронта насыщения матричной пластины в направлении, перпендикулярном направлению расположения волокон.

Цель работы — исследование механизма взаимодействия матричных пластин и волокна, определение условий оптимального размещения армирующих волокон и оценка влияния физико-механических свойств волокна и матрицы на общий характер границы соединения в волокнистом композиционном материале, полученном в условиях неоднородного распространения фронта насыщения по отношению к направлению ориентации армирующих волокон. Экспериментальные исследования проводились на модельных материалах, позволяющих оценить в общих чертах взаимодействие матрицы и волокна. В качестве таких материалов выбраны медная матрица — стальные волокна и алюминиевая матрица — стальные и молибденовые волокна.

На рис. 1 представлены фотографии микроструктур границы соединения волокнистого композиционного материала на основе меди, армированной стальными волокнами. Волокна односторонние, направление укладки волокон ортогонально направлению распространения фронта детонации в заряде взрывчатого вещества, т. е. направлению насыщения матричной пластины, волокна практически без зазора уложены на неподвижной матричной пластине. Толщина матричной пластины δ , и диаметр волокна d равны. Стрелкой обозначено направление детонации, t — шаг укладки волокон, r — отношение массы ВВ к массе метаемой пластины.

Анализируя рис. 1, можно представить механизм взаимодействия матричных пластин с волокнами так, как это показано на рис. 2. На первом этапе осуществляется соударение метаемой матричной пластины и волокна с образованием зоны A , с некоторым отставанием по времени происходит взаимодействие волокна с неподвижной матричной пластиной с образованием зоны B , затем следует соударение матричных слоев с образованием зоны C .

В зависимости от шага укладки волокон характер и величина зоны B могут меняться, но в общем случае металлографические исследования всех зон позволили установить некоторые качественные закономерности. Оказалось, что зона B состоит из трех участков. На участке I (см. рис. 2) происходит образование бугра из-за выдавливания волокном материала

матрицы в сторону свободной поверхности при взаимодействии волокна с матрицей в зоне *B*. На участке *II* наблюдается характерная волнообразная граница между матричными слоями. На участке *III* зафиксировано образование пор и проникновение материала матрицы в волокно. Параметры бугра, образующегося на участке *I*, зависят от угла соударения и физико-механических свойств материала волокна и матрицы.

Образовавшийся бугор в свою очередь оказывает существенное влияние на характер границы матрица — матрица. Известно [5], что волнообразование между свариваемыми пластинами может инициироваться возмущением поверхности одной из свариваемых пластин. Таким возмущением, в частности, может быть препятствие. Если его размеры соизмеримы с амплитудой волны, то волнообразование начинается сразу после препятствия либо на некотором расстоянии l_0 от препятствия, если размеры препятствия несоизмеримы с амплитудой ожидаемой волны при волнообразовании. Величина l_0 определяется, согласно [5], как

$$l_0 = \frac{2\delta_1 v_k}{\sqrt{c^2 - v_k^2}}, \quad (1)$$

где δ_1 — толщина метаемой пластины; v_k — скорость точки контакта; c — продольная скорость звука.

Многочисленными экспериментами показано, что оптимальное качество соединения при волнообразной границе сварки достигается в случае ламинарного течения металлов в процессе волнообразования. Таким образом, для образования подобной волновой границы раздела в зоне *B*, по-видимому, необходимо выполнение одного из следующих условий: расстояние между волокнами $t \geq d + l_0$ либо высота бугра на участке *I* соизмерима с амплитудой ожидаемой волны. Образование пор и пустот на участке *III* (см. рис. 2) можно объяснить сжатием воздуха в замкнутом объеме и облаком дисперсных частиц, действующих на волокно с возникновением каверн и раковин на поверхности волокна.

Проникновение материала матрицы в волокно на участке *III* объясняется следующим образом. При определенном шаге укладки волокон участок *II* отсутствует, а искривление поверхностей метаемой и неподвижной пластин после внедрения волокна создает дополнительный угол соударения. На рис. 2 γ_1 — суммарный угол поворота метаемой пластины под фронтом детонации и угол, возникающий из-за искривления поверхности метаемой пластины; γ_2 — угол, возникающий за счет искривления неподвижной матричной пластины; $\gamma = \gamma_1 + \gamma_2$ — полный угол соударения. Может оказаться, что γ будет больше критического угла струеобразования γ_{kp} , который в соответствии с работой [6] определяется формулой

$$\sin(\gamma_{kp}/2) \geq (\sqrt{1 + 4Re} - 1)/2Re, \quad (2)$$

где $Re = 2\delta_1\delta_2v_k/v(\delta_1 + \delta_2)$ — число Рейнольдса; v — кинематический коэффициент вязкости.

Таким образом, в процессе соударения матричных слоев возможно появление условий для возникновения кумулятивной струи, которая и проникает в волокно, образуя при этом оплавленную зону.

Рассмотренная картина взаимодействия матрицы и волокна при образовании соединения в волокнистом композиционном материале при перечном армировании является общей, а размеры и характер выделенных зон во многом зависят от параметров укладки волокон, свойств соединяемых материалов и параметров соударения. Так, на формирование зоны *B* большое влияние оказывает шаг укладки армирующих волокон. Экспериментально установлено, что при шаге укладки $t = 1.5d$, $t = 2d$ и $r = 1.5$ для композиционных материалов медь — стальные волокна и титан — молибденовые волокна участок *II* отсутствует. При этом $\gamma \approx 60^\circ$,

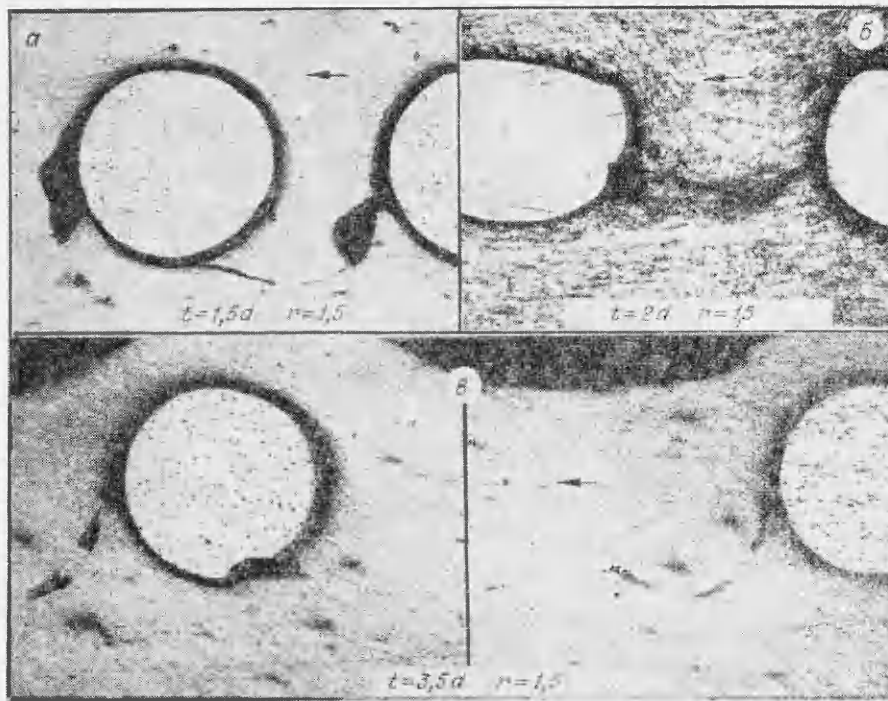


Рис. 3.

что превосходит для этих материалов величину γ_{kp} , определяемую из выражения (2), и на микроструктуре границы соединения наблюдается кумулятивная струя, проникающая в волокно.

При $t = 3d$ образующийся за волокном бугор соизмерим с амплитудой волн и на участке II (см. рис. 2) граница соединения волнообразная, на участке III фиксируется пористость вдоль границы соединения. При этом же шаге укладки и $r = 1$ измеренное расстояние до начала волнообразования составляет $1,33d$ от бугра, а расчет по зависимости (1) дает $l_0 = 1,37d$. Дальнейшее увеличение r приводит к тому, что волнообразование начинается сразу после бугра. Эти результаты позволяют ограничить область достижимых объемных содержаний волокна V_f , при равных толщинах матричной пластины и волокна для установленного оптимального шага $t = 2 \div 3d$ величиной $V_{f\max} \leq 20 \div 25\%$.

Из многих работ, касающихся получения волокнистых композиционных материалов различными способами и в первую очередь для материалов, у которых отсутствует взаимодействие на межфазовой границе, прочность связи в значительной мере определяется связью матричных слоев, иными словами, наличием или отсутствием пор и несплошностей на границе соединения.

На рис. 3 приведены фотографии микроструктур волокнистых композиционных материалов медь — стальные волокна и алюминий — стальные волокна. Начальные параметры соударения в обоих случаях были одинаковы, однако видно, что характер взаимодействия матричных слоев и волокна различен. В композиции медь — стальные волокна армирующие волокна внедрились в нижнюю матричную пластину с образованием пор, а в композиции алюминий — стальные волокна армирующие волокна практически целиком находятся в метаемой матричной пластине и на участке III поры отсутствуют.

Рассмотрим, как и в работе [4], поведение волокна и матричных пластин в условиях описанного выше механизма взаимодействия элементов

волокнистого композиционного материала, учитывая относительные деформации материалов при динамическом сжатии, а также параметры соударения, но с позиций определения условий, влияющих на формирование структуры границы соединения на участке III.

На рис. 4 представлена схема взаимодействия волокна и матричных пластин при поперечном армировании. Схема рассматривается в предположении, что волокно и матричная пластина обладают существенно разными пластическими свойствами и волокно без зазора расположено на неподвижной матричной пластине. Считая, что за время, пока точка контакта пройдет путь ab со скоростью v_k , волокно переместится на расстояние $\Delta l_1 + \Delta l_2$ со средней скоростью $1/2v''_n$ (v''_n — находится из закона сохранения количества движения), можно получить следующее соотношение:

$$\frac{d}{2\operatorname{tg}(\gamma/2)v_k} = \frac{\Delta l_1 + \Delta l_2}{1/2 \frac{m_M}{m_M + m_B} \cos^2(\gamma/2)v_n}, \quad (3)$$

из которого легко выразить величину Δl_2

$$\Delta l_2 = \frac{d}{\frac{4v_k}{v_n} \cdot \frac{m_M + m_B}{m_M} \cdot \frac{\sin(\gamma/2)}{\cos^3(\gamma/2)}} - \Delta l_1, \quad (4)$$

где v_n — скорость полета метаемой пластины; v'_n , v''_n — составляющие скорости метаемой пластины и пластины с волокном соответственно; Δl_1 , Δl_2 — перемещение волокна в результате упругой и пластической деформации неподвижной пластины соответственно; m_M , m_B — массы матриц и волокна в единице объема.

Анализ выражения (4) позволяет определить структуру на участке III границы соединения (см. рис. 2). Физический смысл изменения величины Δl_2 заключается в том, что при определенных соотношениях физико-механических характеристик волокна и матрицы, а также параметров соударения волокно либо внедряется в неподвижную пластину, либо не успевает внедриться в течение процесса соударения. А это в свою очередь, определяет наличие или отсутствие пор на участке III. Если волокно внедряется в неподвижную пластину ($\Delta l_2 > 0$), то возникают условия для образования кумулятивной струи, и на этом же участке наблюдается пористая структура границы соединения и деформированное прилипающее к струе волокно, а если волокно не успевает внедриться в матричную пластину ($\Delta l_2 \leq 0$), то пористость практически отсутствует. Вообще говоря, не только кумулятивная струя определяет пористую структуру границы соединения, а, как сказано выше, сжатие воздуха и облако дисперсных частиц в замкнутом объеме. И все же кумулятивная струя деформирует волокно, проникая в него, и создает значительно больше дефектов в структуре границы соединения.

Пользуясь выражением (4), можно прогнозировать образование пористости на участке III на материалах медная матрица — стальные волокна и алюминиевая матрица — стальные волокна. Упругую деформацию матричных пластин можно определить из зависимости

$$\Delta l_1 = \varepsilon \delta_1,$$

где ε — относительная деформация при динамическом сжатии. Согласно

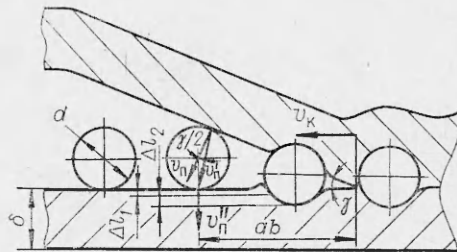


Рис. 4.

[7], для алюминия $\varepsilon = 0,1$, для меди $\varepsilon = 0,15$. Если для меди при $\delta_1 = d = 1$ мм и $r = 1; 1,5; 2$ расчет по (4) дает $\Delta l_2 = 0,074; 0,065; 0,045$ соответственно, то это предполагает наличие пористого участка, что подтверждается экспериментами (см. рис. 1 и 3). Для алюминия при $\delta_1 = d = 1$ мм и $r = 1,5$ расчет дает $\Delta l_2 = -0,003$, что означает отсутствие пористого участка (см. рис. 3, в). Из выражения (3) для конкретных сочетаний материалов и параметров соударения находится предельный угол соударения, при котором исключается появление пористого участка.

Таким образом, рассмотренный механизм взаимодействия матричных слоев и волокна в волокнистом композиционном материале, полученным сваркой взрывом при поперечном армировании, позволяет определить оптимальное объемное содержание армирующих волокон для получения максимальной прочности, а также прогнозировать образование пор на границе соединения в зависимости от свойств волокна, матрицы и параметров соударения.

Поступила в редакцию
13/XII/1979

ЛИТЕРАТУРА

1. C. V. Jarvis, P. M. B. Slatte. Nature, 1968, **220**, 5169.
2. В. И. Беляев и др. Высокоскоростная обработка металлов. Минск, Наука и техника, 1976.
3. В. А. Котов, В. С. Седых.— В сб.: Сварка взрывом и свойства сварных соединений. Труды ВПИ, Волгоград, 1975.
4. А. М. Ханов, И. В. Яковлев. ФГВ, 1979, **15**, 6.
5. А. А. Дерибас. Физика упрочнения и сварка взрывом. Новосибирск, Наука, 1972.
6. С. К. Годунов, А. А. Дерибас. Докл. АН. 1972, **202**, 2.
7. Л. П. Орленко. Поведение материалов при интенсивных динамических нагрузках. М., Машиностроение, 1974.

РАСЧЕТ ДИНАМИЧЕСКОЙ НАГРУЗКИ, ДЕЙСТВУЮЩЕЙ НА СТЕНКУ ВЗРЫВНОЙ КАМЕРЫ

C. A. Ждан
(Новосибирск)

Разработка и совершенствование конструкций взрывных камер непосредственно связана с умением рассчитывать на прочность оболочки камеры при динамических нагрузках.

Задачу о взаимодействии оболочки с ударной волной (УВ) и продуктами детонации, как указывалось в [1], можно разделить на две независимые задачи:

1) определение взрывной нагрузки, действующей на стенку камеры, в предположении, что стенка абсолютно жесткая;

2) определение напряженно-деформированного состояния в оболочке, подвергшейся динамическим нагрузкам.

При решении второй задачи в различных постановках [1—4] предполагалось, что взрывная нагрузка $p_c(t)$ на стенку линейно убывает со временем

$$p_c(t) = \begin{cases} \Delta p_{\text{отр}}(1 - t/t_*), & 0 \leq t \leq t_*, \\ 0 & t > t_*, \end{cases} \quad (1)$$

где t — время; t_* — время действия нагрузки; $\Delta p_{\text{отр}}$ — давление в отраженной волне.